

## 廃棄物の陸上埋立に起因する地下水汚染の現状と将来予測

京大工学部 正会員

井上鶴輔

京大工学部 正会員

○森澤真輔

大阪府

山口泰正

### 1.はじめに

廃棄物を農地に放出する場合、特に人類の生活最適の内部で廃棄物を処分する場合には、必ず何らかの広域と最適および人間に環われる。他の形態の汚染、例えは大気の汚染・海洋の汚染・河川の汚染等と異なり、地下水汚染をめぐる問題にけつぎのようは特徴があるといえる。すなはち、(1)汚染は比較的狭い範囲に限られること、(2)汚染原因の移動・伝播速度が遅いこと、したがって影響が現われ始めるまでに長時間かかるること、(3)一度汚染が生ずるとその発達時間が極めて長いこと、(4)汚染源の数が通常は単数で、汚染の質が時間と共に変化しうること、(5)一度汚染した地下水を淨にするための有効な工学的方法が現在では皆無に近く、地下水取水を放棄して水道水に切替えることにより問題を解決する場合が多いこと、等である。したがって、同じく汚染の将来を予測するとしても、一般的に予測の時間スケールは長くなる。本報告では、山間の谷筋に一般廃棄物を埋立てた某理立場の立場を例にとり、地下水汚染の現状を調査し、汚染の将来を予測する方法について検討したのでその結果について報告する。

### 2. 地下水汚染の現状

#### 2. 1. 埋立場の概要

埋立場の地形図を図-1に示す。破線で囲んだ区域が埋立場である。埋立場は1つの谷筋と、これにはほぼ直角に流入する2つの谷筋よりなっており、これらの谷筋には生ごみ、不燃物、土砂・ガレキ等が各々区分されて埋立されている。埋立場の敷地境界は降水の分水界とほぼ一致しており、埋立場に降った雨水はここの谷筋に集められ、転地内節（土砂・ガレキ埋立区）より地下水を採取することによつて流れ去る。ドーリング調査によつて調査区域には3種類の地下水が存在することが確認されてゐる。すなはち、第1は埋立ゴミ層を浸透した雨水が埋立前の地表面（水田）に滲り流れてゐる地下水であり、第2は埋立場として使用する以前から地表面下に存在する地下水である。第3はゴミ層内節に雨水浸透水がしづかに滲み小規模な中層帶水（宿水）である。第1の地下水と第2の地下水とは粘土層（旧地表面；水田）で隔離されてゐるため、水理学的な導管はほとんどと考えられる。第2の地下水は被覆地下水であることを確認してゐる。また、第1の地下水は敷地境界付近にある集水暗渠によつて集水され、処理を受けた後に放流水としている。一方、第3の地下水は通常的に移動するところなく、移動しない場



図-1 調査区域の地形図

合は第1の地下水に含流する。今回の地下水汚染の調査は軟地内外で重複してある第2の地下水につれて実施した。この地下水は、上下を施工層ではまれた被圧地下水である。厚さ約1mの帶水層は黄褐色の風化花崗岩より成り、空隙率は50.2%，現場揚水試験により測定した透水係数は $2 \times 10^{-2}$  cm/secである。

## 2.2. 調査方法および調査結果

調査区域の各所に設けた手-1孔から地下水を採取し、汚染物理立場周辺の地下水汚染を考慮する上で重要なと思われる位置について水質分析を行った。分析方法はおおむねJISに依る。地下水のサンプリング位置を図-2に、分析結果を表-1に示す。表-1中“地外”は軟地處理外のサンプリング孔であることを、また“浸”は旧地表面に沿って流れる自由地下水(第1の地下水)であることを意味する。

## 3. 地下水汚染の将来予測

### 3.1. 予測理論

汚染原因物質が地中を移動する間に生物・化学反応を受けて消滅したり、他の物質に変化したりする場合には、こうした物理的・化学的過程を記述する基礎式は輸送拡散方程式となる。汚染物質の地中での物質収支式を2次元空間座標について書くと、

$$\frac{\partial C}{\partial t} = C + \frac{1-f}{f} - \rho q$$

$$= \frac{\partial}{\partial x} (D_x \frac{\partial C}{\partial x}) + \frac{\partial}{\partial y} (D_y \frac{\partial C}{\partial y})$$

$$- \frac{\partial}{\partial x} (\nu_x C) - \frac{\partial}{\partial y} (\nu_y C) \quad \dots \dots \dots \quad (1)$$

となる。ここに、 $q$ 、 $C$ は各々汚染物質の土壤中・地下水中の濃度(mg/l),  $D_x$ 、 $D_y$ は拡散係数( $\text{cm}^2/\text{hr}$ )、 $\nu_x$ 、 $\nu_y$ は地下水の流速( $\text{cm}/\text{hr}$ )である。ここで、地下水および土壤中の汚染原因物質濃度はお互いに平衡関係にあると仮定して、

$$q = k_d \cdot C \quad \dots \dots \dots \quad (2)$$

とする関係式を導入する。ここに、 $k_d$ は平衡分配係数( $\text{mg}/\text{g}$ )である。この仮定は、一般に地下水の移動速度を極めて遅く、地下水と土壤との接触時間も長いためほぼ妥当であると思われる。(2)式を(1)式へ代入し、 $t \rightarrow \text{時間}$ に因する変数変換  $T = (1 + \frac{1-f}{f} \rho k_d) \cdot t$  を施すと、(1)式は地下水の移動を記述する方程式(3)に帰着される。ただし、 $f$ は帶水層の空隙率(-)、 $\rho$ は帶水層で構成する土壤の密度( $\text{g}/\text{cm}^3$ )である。

$$\frac{\partial C}{\partial T} = \frac{\partial}{\partial x} (D_x \frac{\partial C}{\partial x}) + \frac{\partial}{\partial y} (D_y \frac{\partial C}{\partial y}) - \frac{\partial}{\partial x} (\nu_x C) - \frac{\partial}{\partial y} (\nu_y C) \quad \dots \dots \dots \quad (3)$$

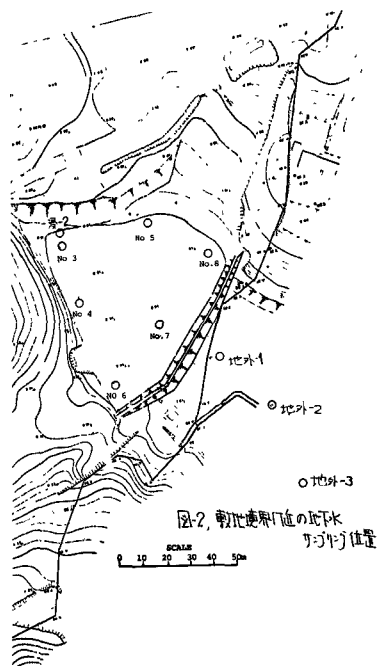


図-2 軟地処理周辺の地下水サンプリング位置

	pH	BOD	COD	T-N	T-P	$\text{Cl}^-$	$\text{SO}_4^{2-}$	$\text{CH}_3\text{COO}^-$	T-S	T-Hg	$\text{Cr}^{6+}$	As	Cd	Pb	Ca/Mg
No. 1	6.7	2.3	8.8	6.3	0.24	141	290	ND	970	ND	ND	0.002	ND	ND	624
No. 2	6.2	0.7	3.4	0.5	0.19	29.7	13	ND	340	ND	ND	ND	ND	0.02	195
No. 3	6.1	0.6	6.4	0.4	0.06	106	47	ND	490	ND	ND	ND	ND	ND	236
No. 4	6.1	0.1	0.4	0.4	0.03	42.6	40	ND	290	ND	ND	ND	ND	0.01	166
No. 5	6.2	0.2	6.1	0.7	0.06	81.0	25	ND	380	ND	ND	ND	ND	ND	179
No. 6	5.9	0.2	0.2	ND	0.07	19.1	5	ND	240	ND	ND	ND	ND	0.03	127
No. 7	5.9	0.2	6.9	0.4	0.03	236	160	ND	820	ND	ND	ND	ND	ND	171
No. 8	6.3	1.1	4.7	0.2	0.08	160	23	ND	1000	ND	ND	ND	ND	0.02	650
地外-1	6.2	0.2	7.9	0.4	0.27	55.8	96	ND	540	ND	ND	0.004	ND	ND	251
地外-2	6.5	0.4	2.1	0.2	0.15	19.9	10	ND	320	ND	ND	ND	ND	ND	121
地外-3	6.6	0.5	2.7	0.5	0.27	15.0	6	ND	210	ND	ND	ND	ND	0.01	84
地外-4	7.2	2.7	13.6	16	0.32	203	37	ND	640	ND	ND	ND	ND	ND	-
地外-5	7.0	4.7	53.4	100	0.46	54.8	350	ND	2800	ND	ND	0.002	ND	ND	1512

(1) 単位:m<sup>3</sup>/hr (mm)

(2) T-N, T-P, Cd<sup>2+</sup>, As<sup>3+</sup>, NH<sub>4</sub><sup>+</sup>, Fe<sup>2+</sup>, Ca<sup>2+</sup>, Mg<sup>2+</sup>

(3) 検出限界以下 ND

このことは、汚染物質の地中移動と地下水そのものの地中移動とが時間に関して相似であることを意味している。したがって、地下水にトレーサーを投入して、トレーサー投入後も時間の濃度分布を推定すれば、汚染物質の濃度分布は  $t \cdot k_f$  時間後はトレーサーの濃度分布に一致することになる。ここに、 $k_f$  は時間変換係数 ( $k_f = \text{ファクター}$ ) で、次式で表す。

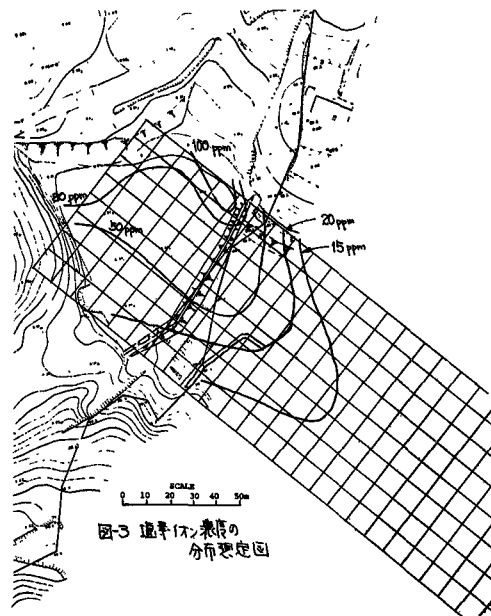
$$k_f = 1 + \frac{1-f}{f} S \cdot k_d \quad \dots \dots \dots \quad (4)$$

つまり、この理論によると汚染物質の移動および汚染の程度（濃度）を、地下水そのものの移動状況を把握することにより  $k_f$  を時間だけ早く予測することができる。

地下水の移動と汚染物質の移動との時間について相似であることは下記にて、以降地下水の移動について検討する。地下水の移動は適当なトレーサーを用いては実測することができる。ところが、調査区域における地下水中には放射性由来すると考えられる鉛素イオンが存在し（表-1 参照），しかも鉛素イオンは土壤によく捕獲固定されることがなりから、鉛素イオンをトレーサーとして地下水の移動を予測することにする。表-1 の鉛素イオン測定値より推定した、調査区域における鉛素イオンの濃度分布を図-3 に示す。

### 3. 2. 基礎式の数値解法

調査区域の帶水層は、上下を粘土層にはさまれて厚さ約 1m の被圧層であり、その厚さ (1m) は水平方向の広がり（最深部で 60~70m）に比べると小さい。そこで、調査区域における地下水（鉛素イオン）の移動を予測するための基礎式として 2 次元非定常輸送拡散式を用いるを考える。



$$\frac{\partial C}{\partial t} = \frac{\partial}{\partial x}(D_x \frac{\partial C}{\partial x}) + \frac{\partial}{\partial y}(D_y \frac{\partial C}{\partial y}) - \frac{\partial}{\partial x}(V_x C) - \frac{\partial}{\partial y}(V_y C) \quad \dots \dots \dots \quad (3)$$

ただし、拡散係数  $D_x, D_y$ 、地下水の流速  $V_x, V_y$  は空間座標のみの関数であるとする。 $V_x, V_y$  は現場で実測した地下水位等高線図（図-4）より Darcy の法則によること、また拡散係数は次式

$$D_x = D_m \cdot |V_x| + D_d, \quad D_y = D_m \cdot |V_y| + D_d \quad \dots \dots \dots \quad (5)$$

で与えられる。ここに、 $D_m$  は標準拡散係数（カドム法による測定値は  $D_m = 0.134 \text{ cm}^2/\text{hr}$ ）、 $D_d$  は分子拡散係数 ( $0.036 \text{ cm}^2/\text{hr}$ ) である。(3)式を差分法により数値的に解くこととする。

(3)式を Crank-Nicolson 法により差分化し、逐次過渡和法 (S.O.R.) によることとする。ここでの差分型は時間ステップを  $t = k \cdot \Delta t = k \cdot h$ 、空間ステップを  $x = i \cdot \Delta x = i \cdot a$ 、 $y = j \cdot \Delta y = j \cdot a$ 、慣和係数を  $\omega$  とする、

$$C_{i,j}^{k+1} = C_{i,j}^k + \omega \cdot E_{i,j}$$

$$E_{i,j} = \{(P - A_{i,j}^1) \cdot C_{i,j}^k + A_{i,j}^2 \cdot (C_{i+1,j}^k + C_{i-1,j}^k) + A_{i,j}^3 \cdot (C_{i,j+1}^k + C_{i,j-1}^k)\}$$

$$+ A_{ij}^4 \cdot (C_{i,j+1}^{k+1} + C_{i,j-1}^k) + A_{ij}^5 \cdot (C_{i,j+1}^{k+1} + C_{i,j+1}^k) \} / (P + A_{ij}^1) - C_{i,j}^{k+1} \quad \dots (6)$$

$$\text{ただし } P = (\alpha x)^2 / \Delta t = (\alpha y)^2 / \Delta t = \alpha^2 / h$$

また  $A_{ij}^n$  は空間座標の計に依存する係数で、例えば  $\alpha_x \leq 0, \alpha_y \leq 0$  の場合  $i=15$

$$\left\{ \begin{array}{l} A_{ij}^1 = \frac{1}{2} (D_{x,i+\frac{1}{2},j} \cdot D_{x,i-\frac{1}{2},j} \cdot D_{y,i+\frac{1}{2},j} \cdot D_{y,i-\frac{1}{2},j}) \\ \quad - \frac{\alpha}{2} (U_{x,i+\frac{1}{2},j} + U_{y,i+\frac{1}{2},j}) \\ A_{ij}^2 = \frac{1}{2} D_{x,i+\frac{1}{2},j} - \frac{\alpha}{2} U_{x,i+\frac{1}{2},j}, \quad A_{ij}^3 = \frac{1}{2} D_{x,i-\frac{1}{2},j} \\ A_{ij}^4 = \frac{1}{2} D_{y,i+\frac{1}{2},j}, \quad A_{ij}^5 = \frac{1}{2} D_{y,i-\frac{1}{2},j} - \frac{\alpha}{2} U_{y,i-\frac{1}{2},j} \end{array} \right.$$

となる。

空間ステップ幅を  $\Delta x = \Delta y = 0.500 \text{ cm}$ ,  
時間ステップ幅を  $\Delta t = h = 24 \text{ hrs}$  として  
魔芋計算機（東京大学大型計算機センター）を用いて計算を実行した。  
計算のフロー・チャートを図-5に示す。  
用いた初期条件・境界条件はつきの  
とおりである。

初期条件；塩素イオン濃度  $C_{ij}$  の初期分布を図-3で示す。

境界条件；1 m の長さ 5 m の正方形箱子欄で囲み、内調査区域の魔芋床に  
おける、各時刻の塩素イオン濃度につれては完全な実測値を得ることはできなかった。そこで、計算の進行と共に塩素イオン濃度が 100 ppm を越えて箱子欄内においては、その以上塩素イオン濃度が増加するとはしないとの仮定を採用した。この仮定は塩素イオン濃度の最高値を 100 ppm としたことにほぼ対応する。  
調査区域の上流側における塩素濃度（表-2）中の塩素イオン濃度がほぼ 100 ppm であることを（表-1参照）を考えると、この仮定はほぼ妥当であると思われる。上記以外の魔芋床における塩素イオン濃度は全て、内部箱子欄における塩素イオン濃度を標的外観するところによつて定めた。すなわち、採用した境界条件式を表わすと、

$$\frac{\partial^2 C}{\partial x^2} = 0, \quad \frac{\partial^2 C}{\partial y^2} = 0 \quad \dots \dots (7)$$

となる。

### 3. 3. 計算結果

地下水サンプリング孔の内、地外-1, 地外-2, 地外-3, および、No.8についての塩素イオン濃度の、(6)式の数値計算による予測値を図

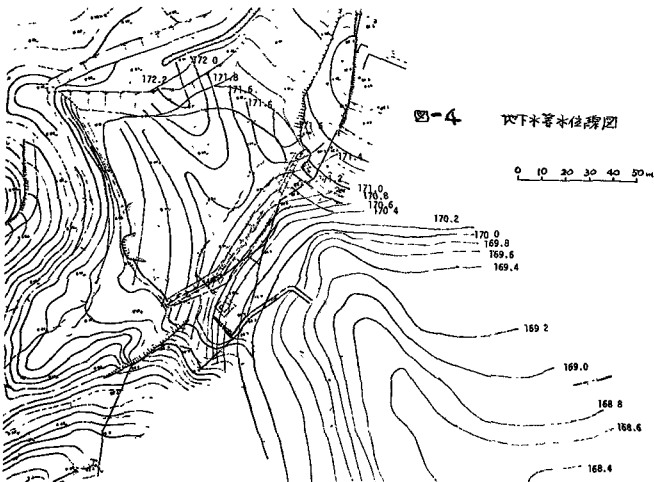


図-4 地下水等水位線図

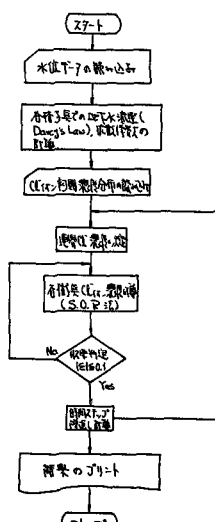


図-5 素取構造のためのフロー・チャート

-6に示す。図-6中の黒丸は表-1の地下水水質を分析した後130日経過したときの塩素イオン濃度の実測値を表している。ここのサンプリング孔における塩素イオン濃度については、計算値と実測値とよく一致しているといえよう。また130日経過後の地下水塩素イオン濃度の実測分布と、数値計算による予測分布とを図-7に示す。図-3の塩素イオン濃度分布を得る場合と同じく、図-7の実測濃度分布は、地下水サンプリング孔における実測値、地下水位等高線図(図-4)等を参照して想定したものである。サンプリング孔の数が少ないので、推定された塩素イオンの実測濃度分布は一意的に定まるものではなく、ある程度の自由度を有しているものと考えられる。

#### 実測濃度分布および初期濃度分布(図3)の想定

にあら程度の自由度があること、塩素イオン濃度の最高値を100 ppmであるとしたこと(境界条件のとり方)等を考慮しても、130日の実測分布と予測分布とは比較的よく一致しているといえよう。

#### 4. 結論

本研究によて得られた結論を整理する。まず、当該廃棄物立場周辺の地下水汚染の現状についてはつきりまとめる。すなはち、

(1) BOD, CODを指標として表わされる有機性の汚染は現状では顕著ではない。

(2)着色・着臭による異常は認められない。

(3)  $CN^-$ ,  $Hg$ ,  $As$ ,  $Pb$ ,  $Cd$ ,  $Cr^{6+}$ 等の有害物質による地下水の汚染は現在のところ認められない。将来においても、ここの物質による地下水汚染が起らなければとは言えないが、丁度塵土直近地表面に溶て流れれる地下水(浸-2; 表-1)中にこれらの物質を検出

するのであることを考慮すると、当該地下水がここの物質により汚染されるには長期間を要すると想われる。ここの物質の中での移動速度は塩素イオンの移動速度より  $K_f$  遠くなるのであるから、これらの物質の内、任意のものの分布を図-3のように検出された後、図-7にまで拡大するには、ほぼ 130  $\times K_f$  日を要することになる。ここの有害物質について測定した分配係数  $k_d$  と(4)式の  $K_f$  値とを整理して表-2に示す。

(4)  $Cl^-$  は、 $SO_4^{2-}$  等の陰イオン、および硬度( $Ca$ + $Mg$  硬度)に随伴して有意に増加しているといえる。

(5)当該立場では、廃棄物を分別に埋立し、また敷地境界付近では浸在流(旧地表面上を流れる地下水)を捕集し処理している。地下水の汚染の進行はここの位置によりなり有効に削減されてきるものと思われる。

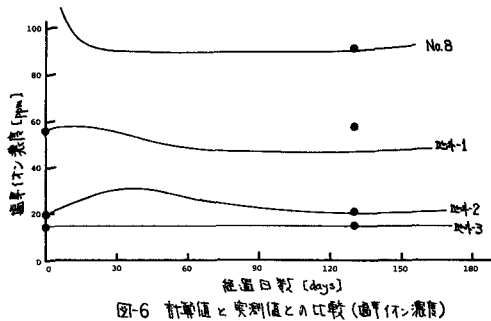


図-6 計算値と実測値との比較(塩素イオン濃度)

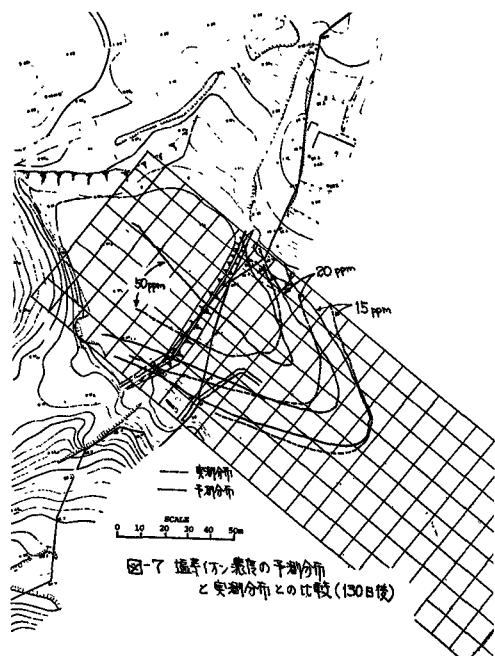


図-7 塩素イオン濃度の予測分布  
と実測分布との比較(130日後)

拡散方程式を数値的に解くことにより、地下水汚染の拡散を予測する方法に関してはつきのとが言えよう。すなれち、

(6)拡散方程式を数値的に解く方法により、地下水汚染の拡散を予測する方法は有望であると思われる(図7参照)。特に本研究の調査对象として選んだ地下水城は、この方法を適用するのに適しているものと思われる。

(7)拡散方程式を数値的に解く方法により地下水汚染の拡散を予測するためには、計算に用いる境界条件を規定する充分なデータが必要である。特に、例えば、敷地境界における汚染物質濃度につれては経時的变化を知る必要がある。

(8)本研究では、地下水層の形状等を考慮して、汚染物質の地中移動と2次元非定常輸送拡散方程式を試みてきたものと假定した。より精密を期すために2次元の場合につけても検討し、両者を比較・検討する必要がある。

(9)計算の実行に際しては、地下水の流速網の時間によつて変化しないとの仮定を採用した。このような仮定は地下水の涵養帶と下り場合には妥当であると考えられるが、調査対象区域のように地下水が主として雨水によつて涵養されているような山間の谷前にあつては妥当ではない場合もあると思われる。實際、調査区域の地下水位は130日を隔てた前後において最大1倍1mの変動が認められた。この地下水位の変動幅は理立場敷地境界から理立場内部に向かうにつれて大きくなる。精密を期すのみには、流速網の時間的変動など、て、拡散係数・地下水流速の時間的変動もある場合につけても考慮する必要がある。

(10)計算の時間ステップ幅( $\Delta t$ )につけて、6時間、12時間、24時間の場合につけて比較検討した。これらの大さき度計算値の $\Delta t$ の大きさに基づく差異の大きさは、場合によっては計算結果に大きな影響を与える。

本研究の実施に際して、地下水の水流に関しては京都大学工学部土木工学科教室在籍新一郎教授より研究室の方々に、数回にわたる現地調査におつては佐藤允氏(現秋田県)の協力を得た。記して感謝の意を表します。また、本研究の実施に際し協力をおしあげた、各个方面に深く感謝致します。

### 参考文献

- (1)(財)日本環境衛生センター; “廃棄物の埋立処分に関する技術的研究報告書”(1974)
- (2) Y. Inoue and W. J. Kaufman; “Prediction of Movement of Radionuclides in Solution through Porous Media”, *Health Physics*, Vol 9, pp. 705~715, (1963)
- (3) M.N.E. Rfai, W.J. Kaufman and D.K. Todd; “Dispersion Phenomena in Laminar Flow through Porous Media”, *Sanitary Engineering Research Laboratory, University of California, Berkeley* (1956).

表-2 有害物質の分配係数と $K_f$ ファクター

物質	化学式	$k_d$	$K_f$
		[mg/g]	[ - ]
CN	HCN	0.3	2
Cd	Cd(NO <sub>3</sub> ) <sub>2</sub>	180	470
Cr <sup>b+</sup>	K <sub>2</sub> CrO <sub>4</sub>	0.3	2
As	Na <sub>3</sub> AsO <sub>4</sub>	1.6	5
Hg	HgCl <sub>2</sub>	3.8	10
Cl	NaCl	0	1

(注)土壤の密度は $\rho = 2.62 \text{ g/cm}^3$ 、試験条件  
飽和量は $12.0 \text{ mg}/100\text{g}$ である。